# ДЕТЕРМИНИРОВАННЫЕ И СЛУЧАЙНЫЕ СИГНАЛЫ

4 часа

## Классификация сигналов

По степени полноты априорной информации

Детерминированные

Случайные

Квазидетерминированные

Периодические

Непериодические

По форме представления зависимости от времени

Аналоговые (а) (непрерывные сигналы непрерывного времени)

непрерывные по уровню дискретного времени (б) Дискретные

дискретные по уровню непрерывного времени (в) дискретные по уровню дискретного времени (цифровые) (г)

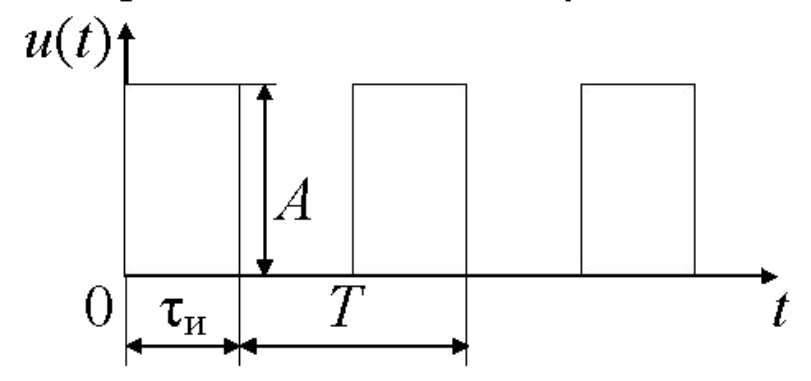
# По виду передаваемых сообщений

Телефонные Факсимильные Телеграфные Передача данных Звукового вещания **Телевизионного** вещания

**Детерминированные сигналы** — заранее известные для любого момента времени, описываемые заданной функцией времени u(t).

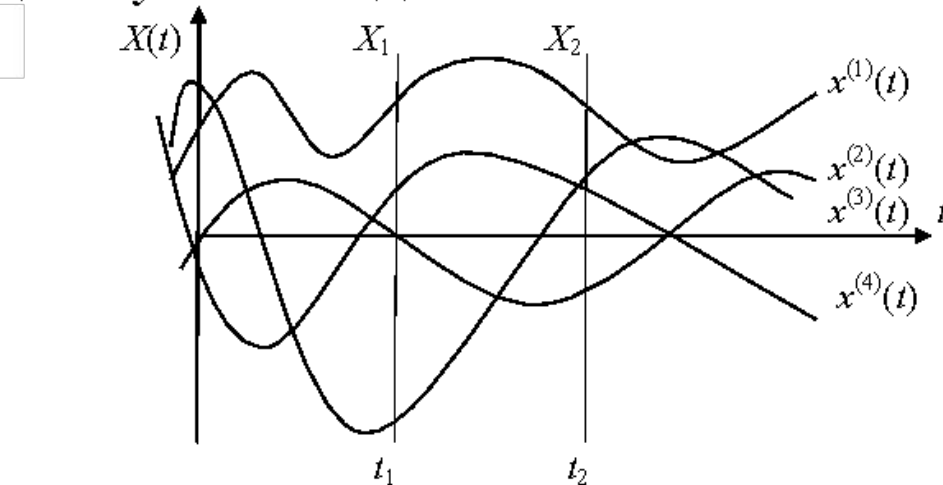
Аналоговые  $u(t) = U_0 \cos(\omega t + \varphi_0)$ 

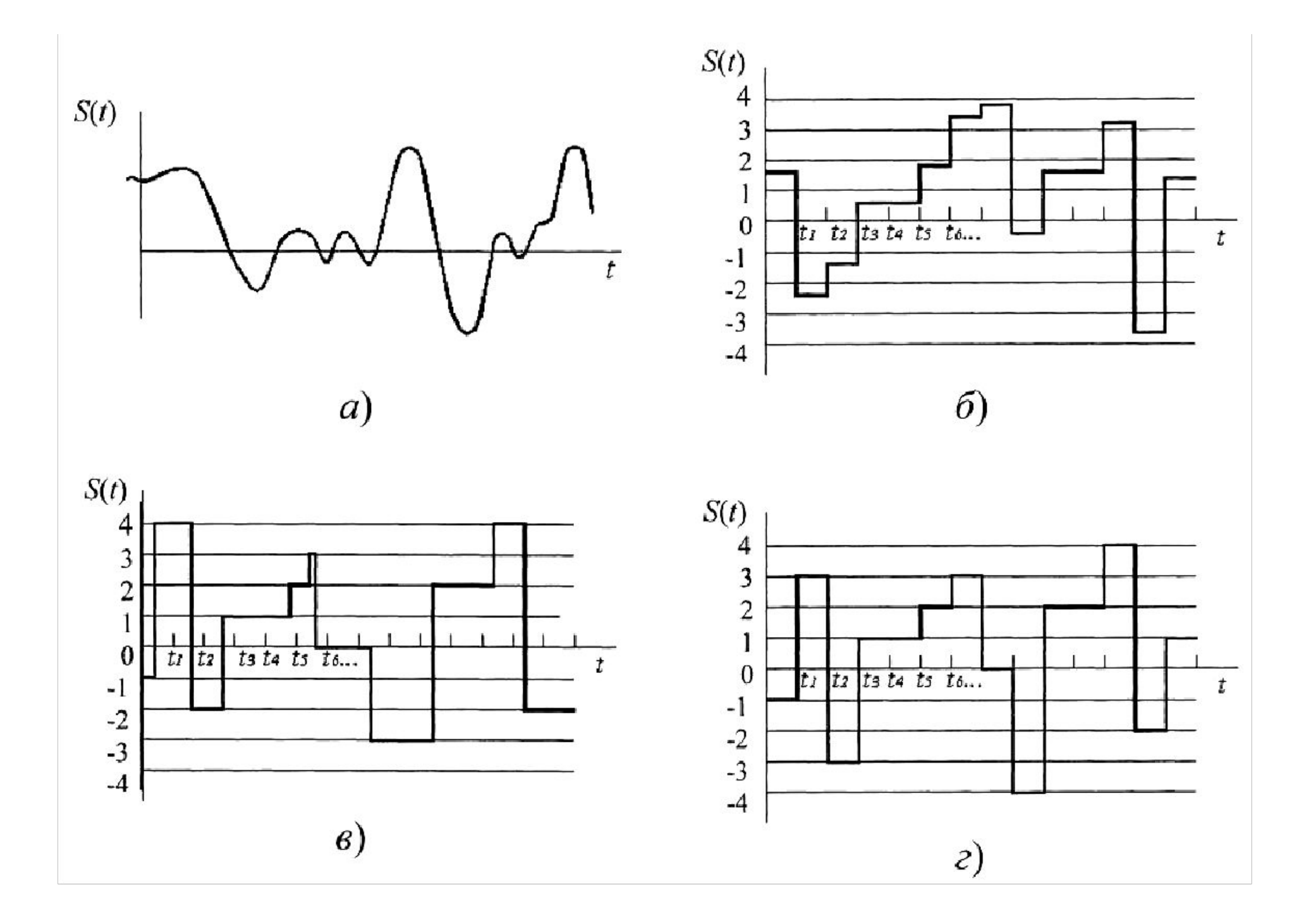
Периодическая импульсная последовательность



$$\mathbf{u}(t) = \begin{cases} A, & t \in [0, \tau_{_{\mathrm{H}}} + T]; \\ 0, & t \notin [0, \tau_{_{\mathrm{H}}} + T]; \end{cases}$$

Случайные сигналы — значения параметров в любой момент времени заранее непредсказуемы с заданной точностью





# Тип передаваемых сообщений

Тип сигнала	Полоса частот $F_{\rm c}/$	Динамический
	скорость передачи	диапазон, $D_{c}$
Телефонный	0,33,4 кГц	3540 дБ
Факсимильный		~ 25 дБ
Телеграфный	50200 Бод	
Передача данных	60048000 Бод	
Звуковое	0,0315 000 кГц	2565 дБ
вещание		
Телевещание	06 МГц	$\sim 40$ д $\mathrm{B}$

# Обобщённый ряд Фурье

использования частотного Для метода анализа применяют разложение сигналов в обобщённый ряд Фурье:

$$x(t) = \sum_{j=0}^{\infty} c_j \varphi_j(t), \tag{1}$$

 $x(t) = \sum_{j=0}^{\infty} c_j \varphi_j(t),$  где  $c_j = \frac{1}{\|\varphi_j\|^2} \int_a^b x(t) \varphi_j(t) dt \ \varphi_j(t)$  – бесконечная система действительных

попарно ортогональных на отрезке [a, b] функций:

$$\int_{a}^{b} \varphi_{n}(t)\varphi_{m}(t)dt = 0 \quad \text{при } n \neq m; \quad \int_{a}^{b} \varphi_{n}^{2}(t)dt \neq 0.$$

Обобщенный ряд Фурье при заданной системе функций  $\varphi_n(t)$  и при фиксированном числе слагаемых ряда обеспечивает наилучшую аппроксимацию (в смысле минимума СКО) данной функции x(t).

Если в качестве ортогональных используются функции вида:

$$\varphi_k(t) = \begin{cases} \cos k\Omega t, \\ \sin k\Omega t, \\ e^{jk\Omega t}; \end{cases}$$

то ряд (1) называется рядом Фурье:

$$x(t) = \frac{a_0}{2} + \sum_{k=1}^{\infty} \left( a_k \cos k\Omega_1 t + b_k \sin k\Omega_1 t \right), \ a_k = \frac{2}{T} \int_0^T x(t) \cos k\Omega_1 t dt, b_k = \frac{2}{T} \int_0^T x(t) \sin k\Omega_1 t dt;$$

$$x(t) = \sum_{k=-\infty}^{\infty} \vec{C}_k e^{jk\Omega_1 t}, \quad \vec{C}_k = \frac{a_k - jb_k}{2} = \frac{1}{T} \int_{-\frac{T}{2}}^{\frac{T}{2}} x(t) e^{-jk\Omega_1 t} dt;$$

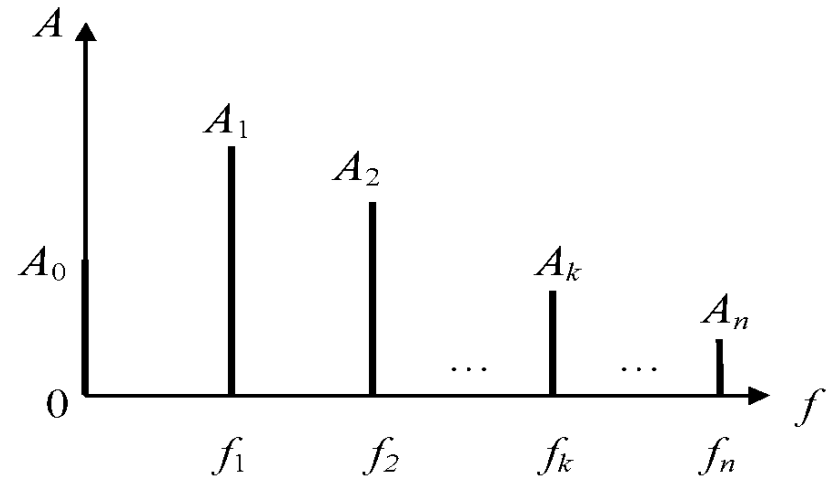
$$x(t) = \sum_{k=0}^{\infty} A_k \cos(k\Omega_1 t - \varphi_k), \quad A_0 = \frac{a_0}{2}, \quad A_k = \sqrt{a_k^2 + b_k^2}, \quad \operatorname{arctg} \frac{b_k}{a_k},$$

где  $\Omega_1 = 2\pi/T$  – частота первой гармоники, T – период функции x(t).

Периодическую функцию x(t) можно представить суммой гармонических колебаний с частотами, кратными основной частоте  $f_1 = 1/T$  ( $\omega_1 = 2\pi/T$ ) с амплитудами  $A_k$  и начальными фазами  $\phi_k$ .

Совокупность амплитуд  $A_k$  (k=0,1,2,...) образует амплитудный спектр, а совокупность фаз  $\varphi_k$  (k=0,1,2,...) — фазовый спектр функции.

Спектр периодического сигнала – дискретный.



Амплитудный спектр периодического сигнала

Спектр непериодического сигнала — сплошной и определяется интегралом Фурье  $S_x(j\omega) = \int_{-\infty}^{\infty} x(t)e^{-j\omega t}dt$  — спектральная плотность сигнала.

 $W_x(f)=S_x^2(f)$  — спектральная плотность энергии,  $E=\int\limits_{-\frac{T}{2}}^{\frac{T}{2}}x^2(t)dt=\int\limits_{-\infty}^{\infty}W_x(f)df;$   $G_x(f)=S_x^2(f)/T$  — спектральная плотность мощности;  $P=\int\limits_{-\frac{T}{2}}^{\infty}G_x(f)df.$ 

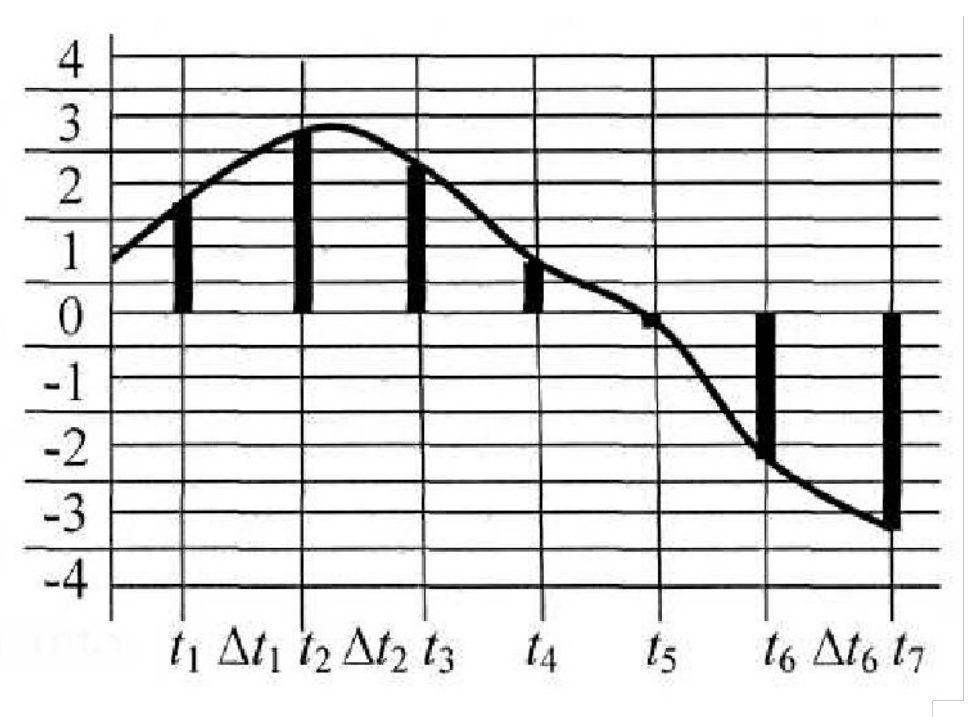
Эти характеристики являются чётными функциями частоты, следовательно:

$$E = 2\int_{0}^{\infty} W_{x}(f)df = \int_{0}^{\infty} W_{0,x}(f)df, \qquad P = 2\int_{0}^{\infty} \mathbb{G}_{x}(f)df = \int_{0}^{\infty} G_{0,x}(f)df,$$

где  $\mathbb{N}^{0,x}(\xi) = 2\mathbb{N}^{x}(\xi)$  и  $G_{0,x}(f) = 2G_{x}(f) - C\Pi$ Э и СПМ, определённые на положительных частотах.

# <u>Дискретизация и восстановление непрерывных сигналов.</u> Теорема Котельникова.

Дискретизация по времени — взятия отсчётов первичного сигнала s(t) в определённые дискретные моменты  $t_{i}$ ; непрерывная функция s(t)заменяет совокупностью мгновенных значений (отсчётов)  $\{s(k)\}$  или  $\{s(t_k)\}.$ 



Значения, полученные при дискретизации 1,7 2,7 2,2 0,7 -0,2 -2,2 3,2

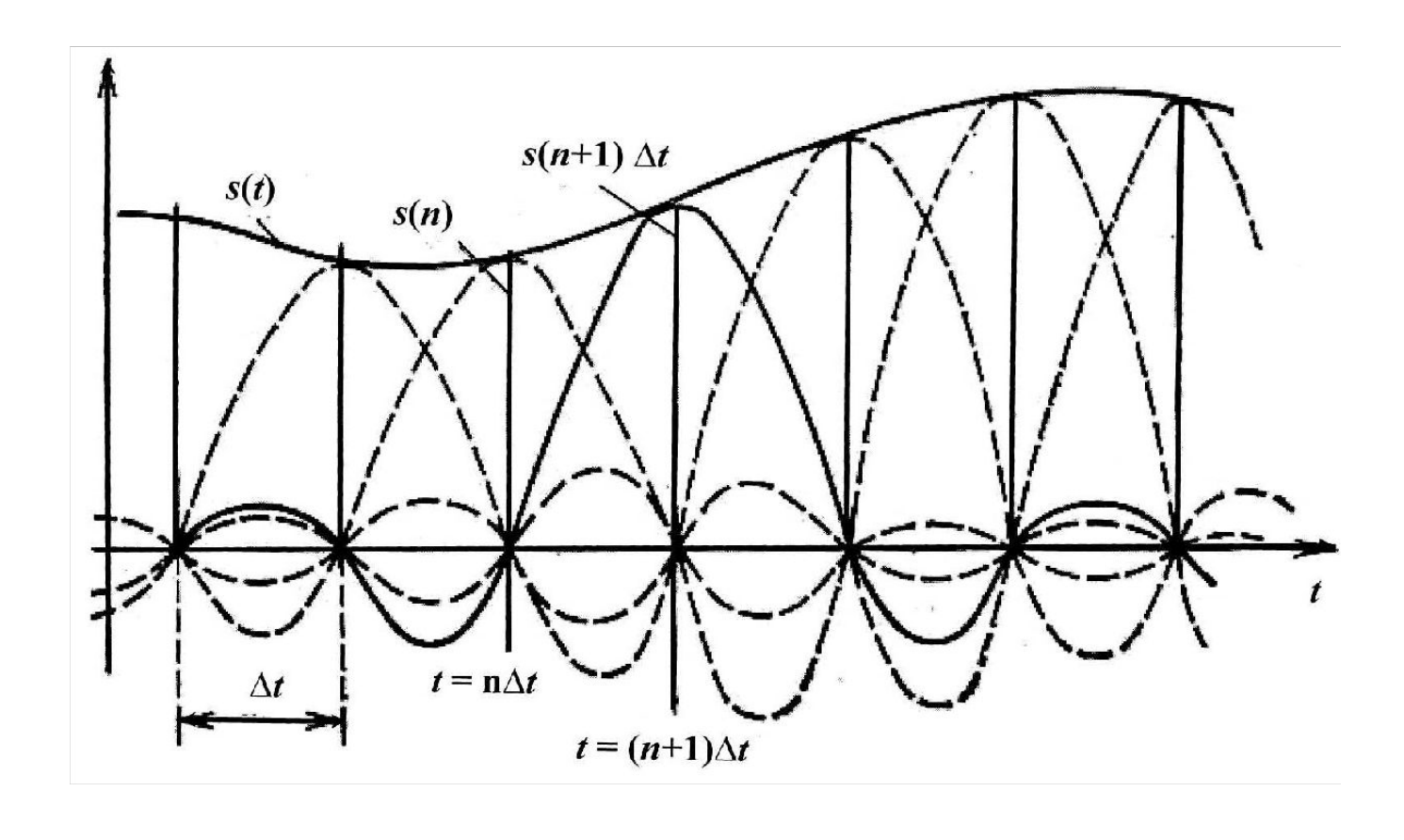
*Теорема Котельникова* (*отсчетов*, *Найквиста*): непрерывный сигнал s(t), спектр которого ограничен сверху частотой  $F_{\rm B}$ , полностью определяется отсчетами мгновенных значений  $s(k\Delta t)$  в точках, отстоящих друг от друга на интервалы  $\Delta t \leq 1/2F_{\rm B}$ . Интервал  $\Delta t$  называется интервалом *Котельникова* (*Найквиста*), а  $f_{\rm A} = 1/\Delta t -$ *частотой дискретизации*.

Эта теорема позволяет представить непрерывную функцию s(t) в виде ряда Котельникова:

$$s(t) = \sum_{k=-\infty}^{\infty} s(k\Delta t) \frac{\sin[2\pi F_{\rm B}(t - k\Delta t)]}{2\pi F_{\rm B}(t - k\Delta t)},$$

$$\phi_{\mathbf{k}}(t) = \frac{\sin[2\pi F_{\mathbf{B}}(t - k\Delta t)]}{2\pi F_{\mathbf{B}}(t - k\Delta t)} = \begin{cases} 1, & t = k\Delta t; \\ 0, & t = n\Delta t, & n \neq k; \end{cases} -$$
базисная функция отсчётов.

Ряд Котельникова точно определяет функцию s(t) в точках отсчета (коэффициентами ряда являются сами выборки из функции  $s(k\Delta t)$ ) и определяет функцию s(t) в любой момент t.



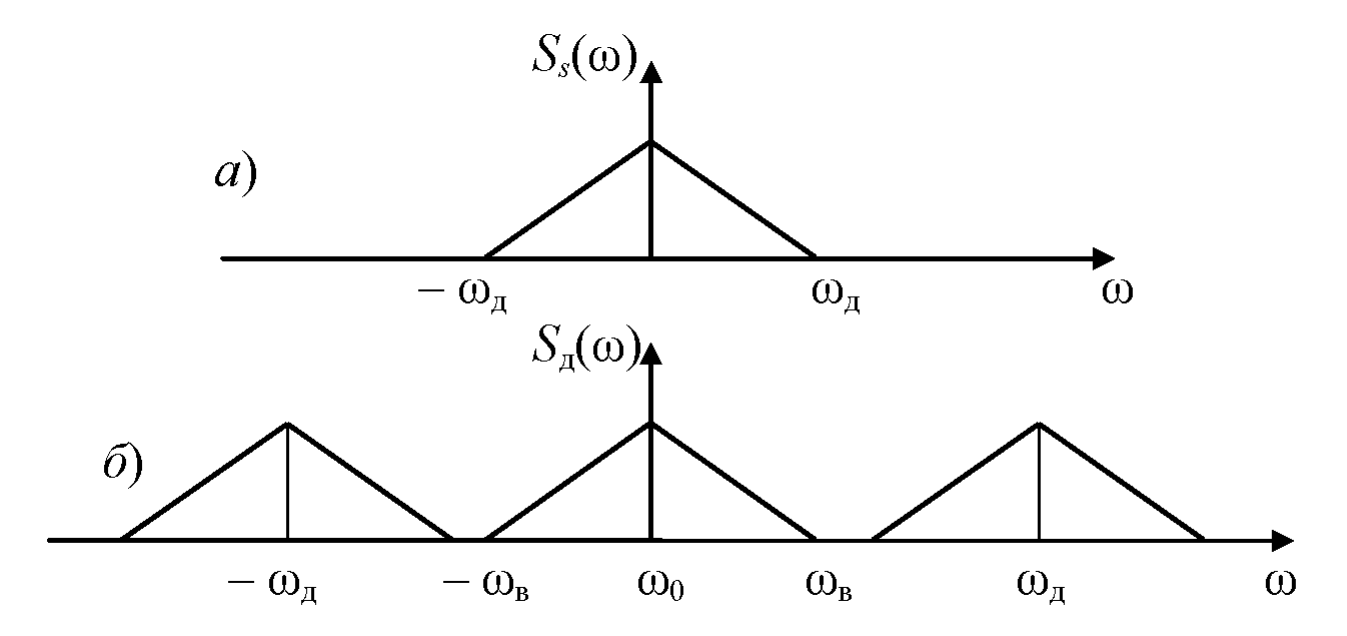
Представление сигнала рядом Котельникова

Теоретически отсчёты функции s(t) получаются в результате её перемножения на периодическую последовательность  $\delta$ -импульсов  $u_{\delta}(t)$  с периодом  $T = \Delta t$ , спектр которой является дискретным:

$$s_{\mathrm{A}}(t) = s(t)u_{\delta}(t) = s(t)\left[...+\frac{1}{\Delta t}e^{-j\omega_{\partial}t} + \frac{1}{\Delta t}e^{j\omega_{\partial}t} + ...\right]$$
 – дискретный сигнал,

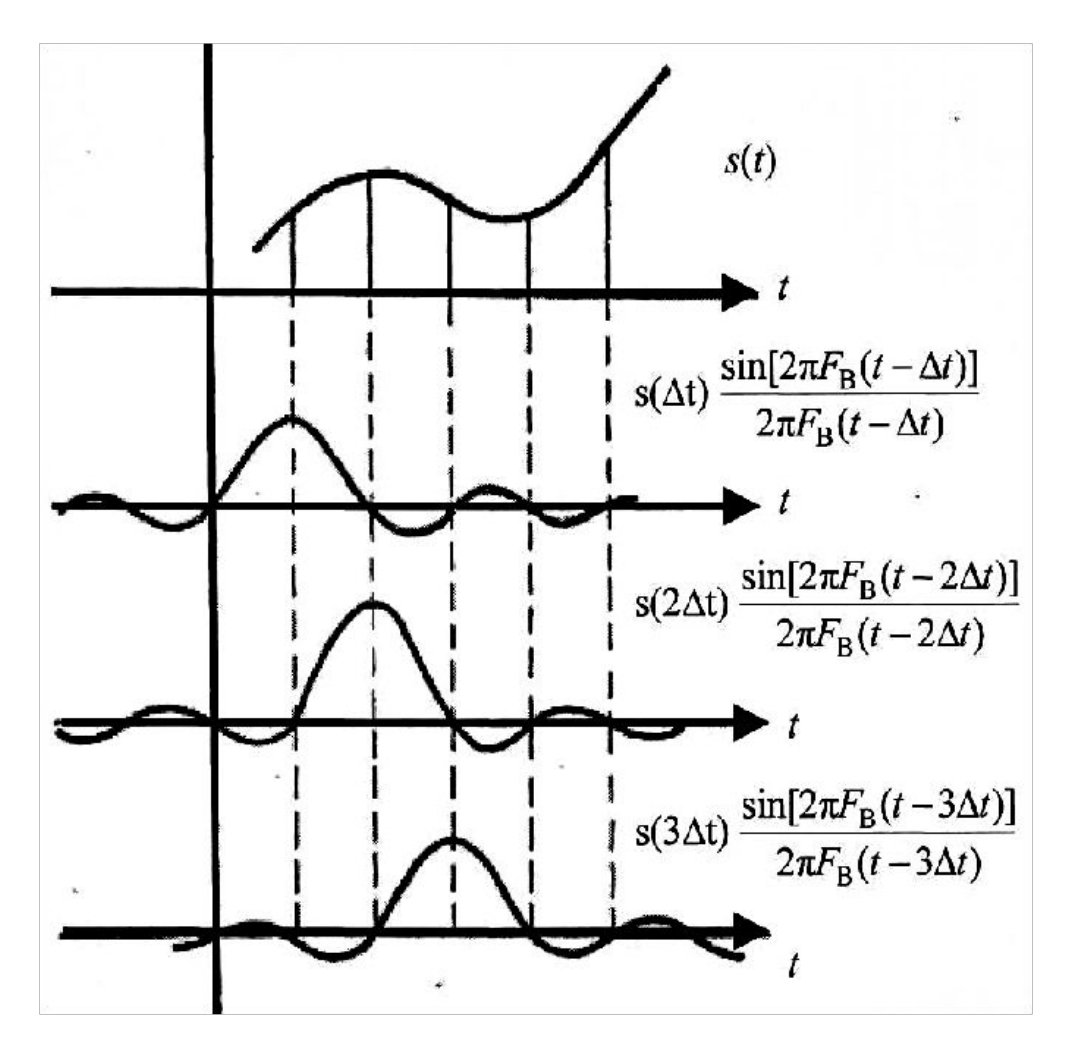
$$\mathbf{S}_{\mathbf{A}}^{\mathbf{I}}(\omega) = \int_{-\infty}^{\infty} s_{\mathbf{A}}(t)e^{-j\omega t}dt = \mathbf{I} + \frac{1}{\Delta t} \int_{-\infty}^{\infty} s(t)e^{-j(\omega+\omega_{\mathbf{A}})t}dt + \frac{1}{\Delta t} \int_{-\infty}^{\infty} s(t)e^{-j\omega t}dt + \frac{1}{\Delta t} \int_{-\infty}^{\infty} s(t)e^{-j(\omega-\omega_{\mathbf{A}})t}dt + \mathbf{I} = \mathbf{I} + \mathbf{I}$$

 $S_{\rm A}(\omega)$  — спектр дискретизированного сигнала  $S_{\rm A}(t)$ ,  $S_{\rm S}(\omega)$  — спектр исходного сигнала S(t).



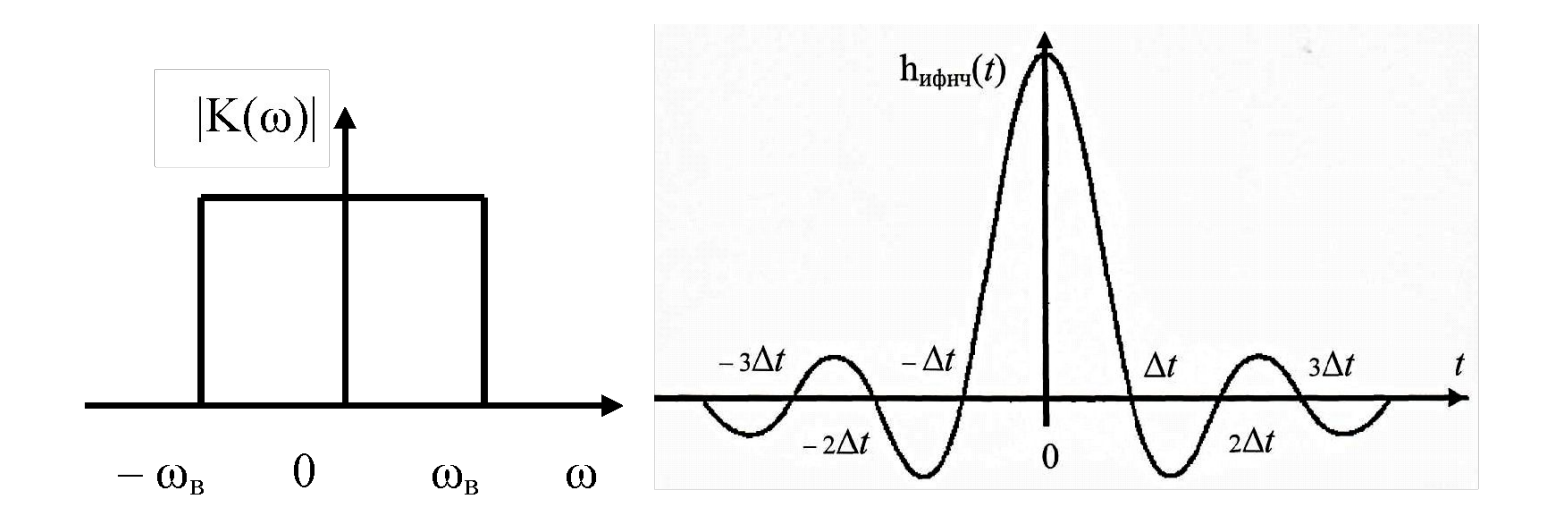
Спектр исходного (а) и дискретизированного сигнала (б)

Восстановление исходного сигнала по последовательности отсчетов осуществляется путем формирования для каждого отсчета  $s(k\Delta t)$  функции  $\phi_k(t) = \sin[2\pi F_{_{\rm B}}(t-k\Delta t)]/2\pi F_{_{\rm B}}(t-\Delta t)$  с соответствующей амплитудой и последующим суммированием всех функций.



Восстановление исходного сигнала по последовательности отсчётов

Устройством, формирующим отклик вида  $(\sin x)/x$  при воздействии  $\delta$ -импульса, является идеальный фильтр нижних частот (ИФНЧ) с АЧХ и ИХ характеристиками, представленными на рис.



AЧX(a) и ИX(б) ИФНЧ

# Погрешности дискретизации и восстановления непрерывного сигнала

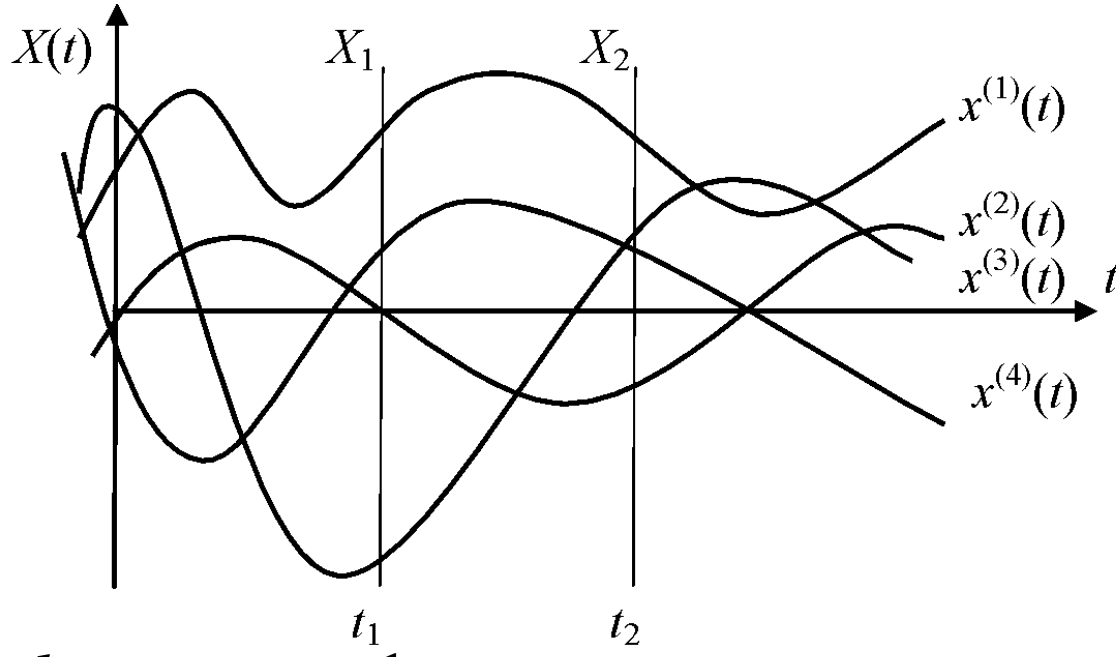
1. Теорема Котельникова точно справедлива только для сигналов с финитным (конечным) спектром, т. е. имеющих бесконечную длительность. Спектры реальных сигналов (конечной длительности) бесконечны. Погрешность дискретизации определяется энергией спектральных составляющих сигнала, лежащих за пределами частоты  $\omega_{\rm B}$   $\overline{\Delta E_{\rm g}^2} = \int \left| \mathbf{S}_{\rm g}(\omega) \right|^2 d\omega$ .

2. Вторая причина возникновения погрешностей – неидеальность восстанавливающего ФНЧ:

 $h_{\phi^{\mathrm{H}}}(t) = e^{-rac{t}{R_{\phi}C_{\phi}}} / R_{\phi}C_{\phi}.$ 

**Вывод**: чем выше  $\omega_{\rm B}$  и чем ближе характеристики восстанавливающего ФНЧ к идеальным, тем ближе восстановленный сигнал к исходному.

### Случайные процессы и их основные характеристики



*Случайная функция* — функция, значения параметров которой в любой момент времени заранее непредсказуемы с заданной точностью.

**Реализация случайной функции** — вид случайной функции в конкретном испытании  $x^{(i)}(t)$ .

*Случайная величина* — значение случайной функции в конкретный момент времени  $X_k = \{x^{(i)}(t_k)\}.$ 

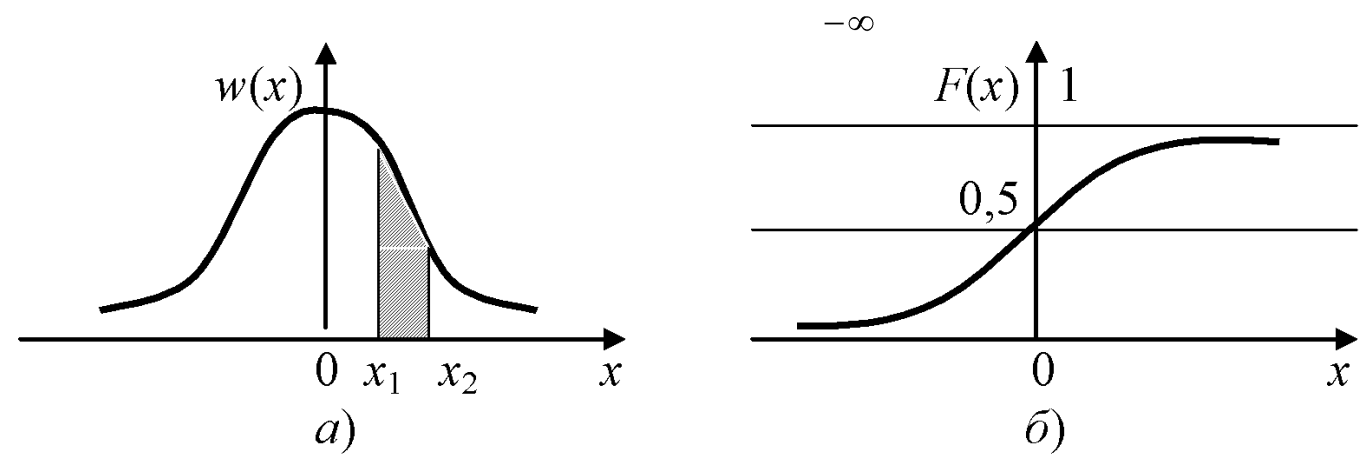
*Случайный процесс* — совокупность случайных функций  $\{x^{(i)}(t)\}$ .

Для непрерывных СП X(t) распределение вероятностей в заданном сечении  $t_1$  характеризуется одномерной *плотностью вероятностей*:

$$w(x) = \lim_{\Delta x \to 0} \frac{p(x \le X \le x + \Delta x)}{|\Delta x|} \ge 0$$

или интегральной функцией распределения (ИФР) F(x):

$$F(x) = p(X < x) = \int_{-\infty}^{x} w(x) dx.$$



Типовые графики одномерных ПВ (a) и ИФР  $(\delta)$ 

$$w(x_1, x_2, ..., x_n; t_1, t_2, ..., t_n) = \frac{\partial^n F(x_1, x_2, ..., x_n; t_1, t_2, ..., t_n)}{\partial x_1 \partial x_2 ... \partial x_n} - n$$
-мерная ПВ

# Основные свойства ИФР и ПВ случайной величины

Название и	Функция распределения	Плотность вероятности
обозначение	F(x)	$w(x)_{y}$
Определение	$w(x) = \frac{dF(x)}{dx}$	$w(x) = \lim_{\Delta x \to 0} \frac{p(x \le X \le x + \Delta x)}{ \Delta x }$
Физическая	5 and an income and	
размерность	<b>безразмерная</b>	размерность Х
Взаимосвязь	$F(x) = \int_{-\infty} w(y) dy$	$F(x) = p(X \le x)$
Особенности	$F(x_2) \ge F(x_1)$ при $x_2 > x_1$	$w(x) \ge 0$
функции	(неубывающая) $p(x_1 \le X \le x_2) = F(x_2) - F(x_1)$	(неотрицательная)
Расчёт	$p(x_1 \le X \le x_2) = F(x_2) - F(x_1)$	$p(x_1 \le \bar{X} \le x_2) = \int w(x) dx$
вероятности		$x_1$
Свойство	$F(-\infty) = 0, \qquad F(\infty) = 1$	$\int_{-\infty}^{\infty} w(x)dx = 1$
нормировки		

## Основные числовые характеристики

Математическое ожидание 
$$m_1(t) = M[X(t)] = \overline{X(t)} = \int_{-\infty}^{\infty} xw(x,t)dx$$

- усреднённое по множеству реализаций значение случайного процесса; физический смысл — среднее значение случайного процесса; размерность СП.

размерность СП. **Дисперсия**  $\sigma^2(t) = D[X(t)] = M \begin{bmatrix} \Box \\ X^2(t) \end{bmatrix} = \int_{-\infty}^{\infty} [x - m_1(t)]^2 w(x, t) dx$ 

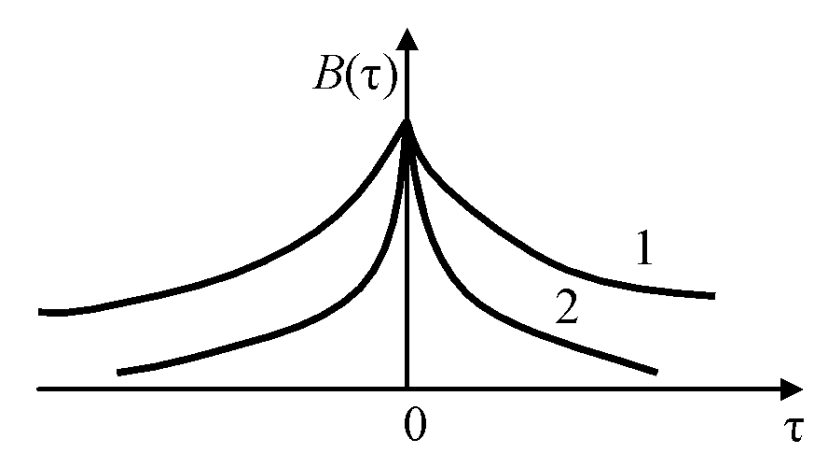
– стандартное или среднеквадратическое отклонение значений СП от математического ожидания, характеризует разброс СВ относительно МОЖ; физический смысл – мощность переменной составляющей СП;

**Функция корреляции** — характеризует статистическую связь между значениями СП в моменты времени  $t_1$  и  $t_2$ , разделённые интервалом  $\tau = t_2 - t_1$ :

$$B_{x}(t_{1},t_{2}) = M \begin{bmatrix} \Box \\ X_{1} \cdot X_{2} \end{bmatrix} = \int_{-\infty}^{\infty} \int_{-\infty}^{\infty} [x_{1} - m_{1}(t_{1})] [x_{2} - m_{1}(t_{2})] w(x_{1},x_{2};t_{1},t_{2}) dx_{1} dx_{2}.$$

## Ковариационная функция

$$K_x(t_1,t_2) = M[X(t_1) \cdot X(t_2)] = \int_{-\infty}^{\infty} \int_{-\infty}^{\infty} x_1 x_2 w(x_1,x_2;t_1,t_2) dx_1 dx_2.$$



Функция корреляции СП с медленно (1) и быстро (2) убывающими связями

**Функция взаимной корреляции** — характеризует статистическую связь между значениями двух СП в моменты времени  $t_1$  и  $t_2$ , разделёнными интервалом  $\tau = t_2 - t_1$ :

$$B_{xy}(t_1,t_2) = \int_{-\infty}^{\infty} \int_{-\infty}^{\infty} (x-m_{1x})(y-m_{1y})w_2(x_1,y_2;t_1,t_2)dxdy.$$

## Стационарные, эргодические случайные процессы

#### Случайные процессы

#### Стационарные

#### Нестационарные

#### В узком смысле

$$w(x_1, x_2, ..., x_n; t_1, t_2, ..., t_n) =$$

$$= w(x_1, x_2, ..., x_n; t_1 - \tau, t_2 - \tau, ..., t_n - \tau);$$

$$w(x, t) = w(x, t - \tau);$$

$$w(x_1, x_2; t_1, t_2) = w(x_1, x_2; t_1 - \tau, t_2 - \tau) = w(x_1, x_2; \tau), \tau = t_2 - t_1$$

#### В широком смысле

$$w(x, t) = w(x, t - \tau);$$

$$w(x_1, x_2; t_1, t_2) = w(x_1, x_2; t_1 - \tau, t_2 - \tau) = w(x_1, x_2; \tau), \tau = t_2 - t_1;$$

$$m(t) = m, \sigma^2(t) = \sigma^2,$$

$$B(t_1, t_2) = B(\tau), B(\tau) = B(-\tau)$$

#### Эргодические

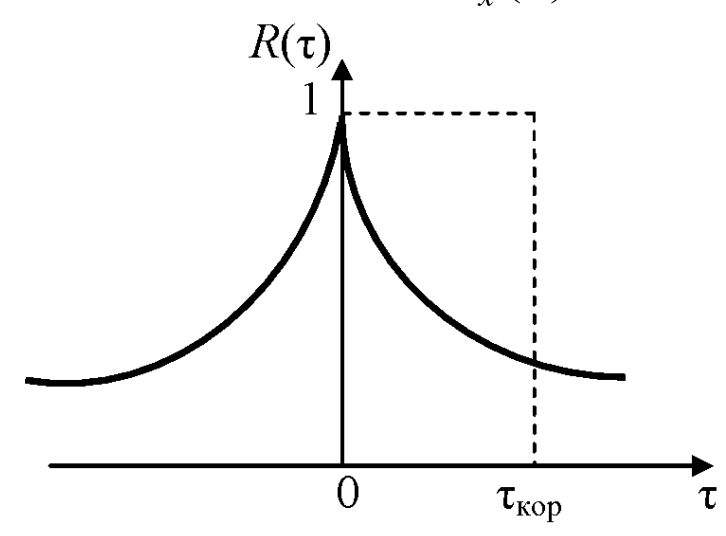
Достаточное условие эргодичности стационарного в широком смысле СП

$$\lim_{T \to \infty} = \int_{0}^{T} B(\tau) d\tau = 0 ,$$
 
$$m_{1} = \widetilde{x}(t) = \int_{-T/2}^{T/2} x(t) dt, \ \sigma^{2} = [\widetilde{x}(t) - \widetilde{x}(t)]^{2} = \int_{-T/2}^{T/2} [x(t) - m_{1}(t)]^{2} dt, B(\tau) = \frac{1}{T} \int_{-T/2}^{T/2} x_{\sim}(t) x_{\sim}(t - \tau) dt,$$
 
$$x_{\sim}(t) = x(t) - \widetilde{x}(t) - \text{переменная часть С}\Pi,$$

# Свойства функции корреляции стационарного эргодического СП

1. 
$$B(\tau) = (1/T) \int_{-\infty}^{1/2} x_{\sim}(t) x_{\sim}(t-\tau) dt;$$

- 2.  $B_{x}(t_{1},t_{2})=B_{x}^{-T/2}(\tau)$ .
- 3. ФК действительная и чётная  $B_{x}(\tau) = B_{x}(-\tau)$ .
- 4.  $B_x(\tau = 0) = B_x(0) = \sigma_x^2 = P_{\sim}$  мощность переменной составляющей СП.
- 5.  $B_{r}(\tau) \leq B_{r}(0)$ .
- 6. Для статистически независимых сечений  $B_{x}(t_{1},t_{2})=0$ .
- 7. Коэффициент корреляции  $R(x) = \frac{B_x(\tau)}{B_x(0)}$ ;  $R_x(0) = 1$ ,  $-1 \le R_x(\tau) \le 1$ .



8. Интервал корреляции  $\tau_{\text{кор.}}$  – минимальное расстояние между двумя сечениями, при котором значения СП можно считать некоррелированными, определяется методом равновеликого прямоугольника:

$$\tau_{\text{kop}} = \int_{0}^{\infty} |R(\tau)| d\tau.$$

9. Взаимная ФК двух процессов X(t) и Y(t) равна:

$$B_{xy}(t_1,t_2) = M \left[ X(t_1) \cdot Y(t_2) \right] = \overline{X(t_1)} \, \overline{Y(t_2)} = \overline{X(t_2)} \, \overline{Y(t_2)} = B_{yx}(t_1,t_2).$$

10. ФК суммы независимых СП Z(t) = X(t) + Y(t) равна:

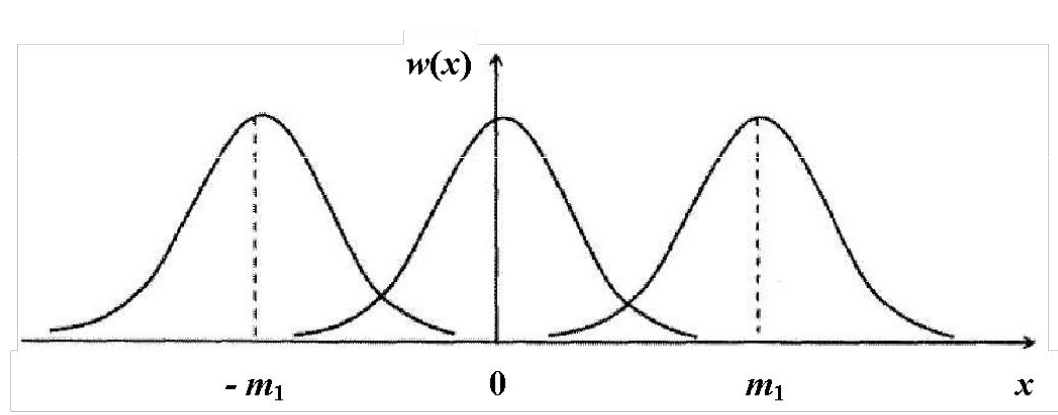
$$B_z(t_1, t_2) = B_x(t_1, t_2) + B_y(t_1, t_2).$$

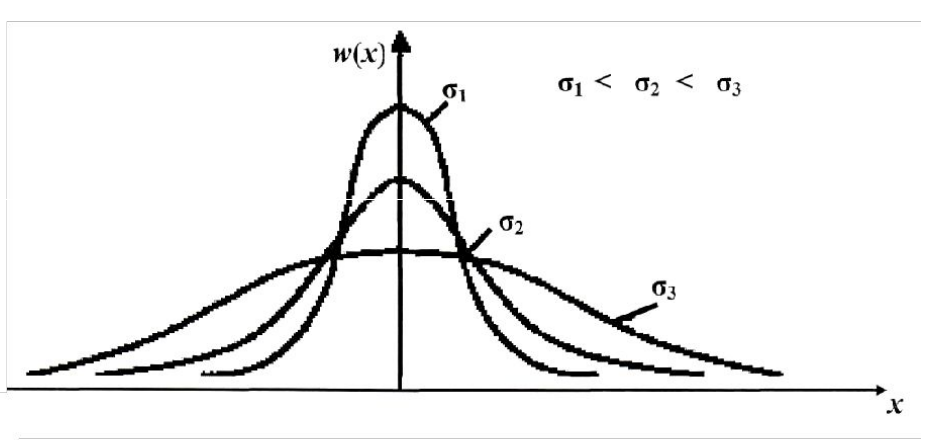
# Нормальные (гауссовские) случайные процессы

$$w(x) = \frac{1}{\sqrt{2\pi}\sigma_x} \exp\left[-\frac{(x-m_1)^2}{2\sigma_x^2}\right].$$

Это распределение полностью определяется двумя параметрами:  $m_1$  и  $\sigma_x^2$ . Свойства нормального СП:

- 1) ПВ положительная  $w(x) \ge 0$ ;
- 2) ПВ симметрична относительно  $x = m_1$ ;
- 3)  $w_{\text{max}} = w(m_1) = 1/(\sigma\sqrt{2\pi});$
- $4) \quad \int_{-\infty}^{\infty} w(x) dx = 1;$
- 5) При изменении  $m_1$  кривая без изменения формы смещается вдоль оси x;
- 6) Чем больше дисперсия  $\sigma_x^2$ , тем меньше величина максимума ПВ и тем она шире.





# 7) ИФР, соответствующая нормальному закону, имеет вид:

$$F(x) = \int_{-\infty}^{x} w(x) dx = \frac{1}{\sigma_{x} \sqrt{2\pi}} \int_{-\infty}^{x} \exp\left[-\frac{(x - m_{1})^{2}}{2\sigma_{x}^{2}}\right] dx = \begin{vmatrix} y = (x - m_{1})/\sigma \\ dy = dx/\sigma \end{vmatrix} = \frac{1}{\sqrt{2\pi}} \int_{-\infty}^{x - m_{1}} e^{-\frac{t^{2}}{2}} dt - \mathbf{u} \mathbf{h} \mathbf{m} \mathbf{e} \mathbf{z} \mathbf{p} \mathbf{a} \mathbf{n} \mathbf{s} \mathbf{e} \mathbf{p} \mathbf{o} \mathbf{n} \mathbf{m} \mathbf{h} \mathbf{o} \mathbf{c} \mathbf{m} \mathbf{u}, \text{ неэлементарная табули-$$

рованная функция, вероятность того, что нормированное случайное отклонение не превзойдет величину z.

$$p(x_1 \le X \le x_2) = F\left(\frac{x_2 - m_1}{\sigma_x}\right) - F\left(\frac{x_1 - m_1}{\sigma_x}\right); \quad p(m_1 - 3\sigma < x < m_1 + 3\sigma) \cong 0,997.$$

## Аналитический (комплексный) сигнал

Представление сложного (негармонического) сигнала s(t) в виде действительной или мнимой части комплексного сигнала  $\mathbf{z}(t) = s(t) + j\widetilde{s}(t)$ ,  $\widetilde{s}(t) - \mathbf{y}$  функция, связанная с исходной соотношениями:

$$\widetilde{s}(t) = -\frac{1}{\pi} \int_{-\infty}^{\infty} \frac{s(\tau)}{\tau - t} d\tau, \quad s(t) = \frac{1}{\pi} \int_{-\infty}^{\infty} \frac{\widetilde{s}(t)}{\tau - t} d\tau \quad - npeo \delta pasobahus \Gamma unb \delta epma,$$

является обобщением символического метода.

Экспоненциальная форма записи сигнала

$$\mathbf{z}(t) = A(t) [\cos \psi(t) + j \sin \psi(t)]$$

$$A(t)\cos\psi(t)=s(t), \quad A(t)\sin\psi(t)=\widetilde{s}(t), \quad A(t)=\sqrt{s^2(t)+\widetilde{s}^2(t)}$$
 — огибающая сигнала,  $\psi(t)=\arctan[\widetilde{s}(t)/s(t)]$  — полная мгновенная фаза,  $\varphi(t)=\psi(t)-\omega_0 t$  — мгновенная начальная фаза,  $\varphi(t)=\frac{d\psi(t)}{dt}=\frac{d}{dt}\left[\arctan[\widetilde{s}(t)]+\widetilde{s}(t)]\right]=\frac{s(t)\widetilde{s}'(t)-\widetilde{s}(t)s'(t)}{s^2(t)+\widetilde{s}^2(t)}$  — мгновенная частота.

Квазигармоническая форма записи сигнала

$$\mathbf{z}(t) = A_0 \left[ \cos \psi(t) + j \sin \psi(t) \right] = \operatorname{Re} \left\{ \mathbf{z}(t) e^{j\omega_0 t} \right\},\,$$

 $A(t) = A(t)e^{j\varphi t}$  — комплексная огибающая сигнала.

# Узкополосные сигналы

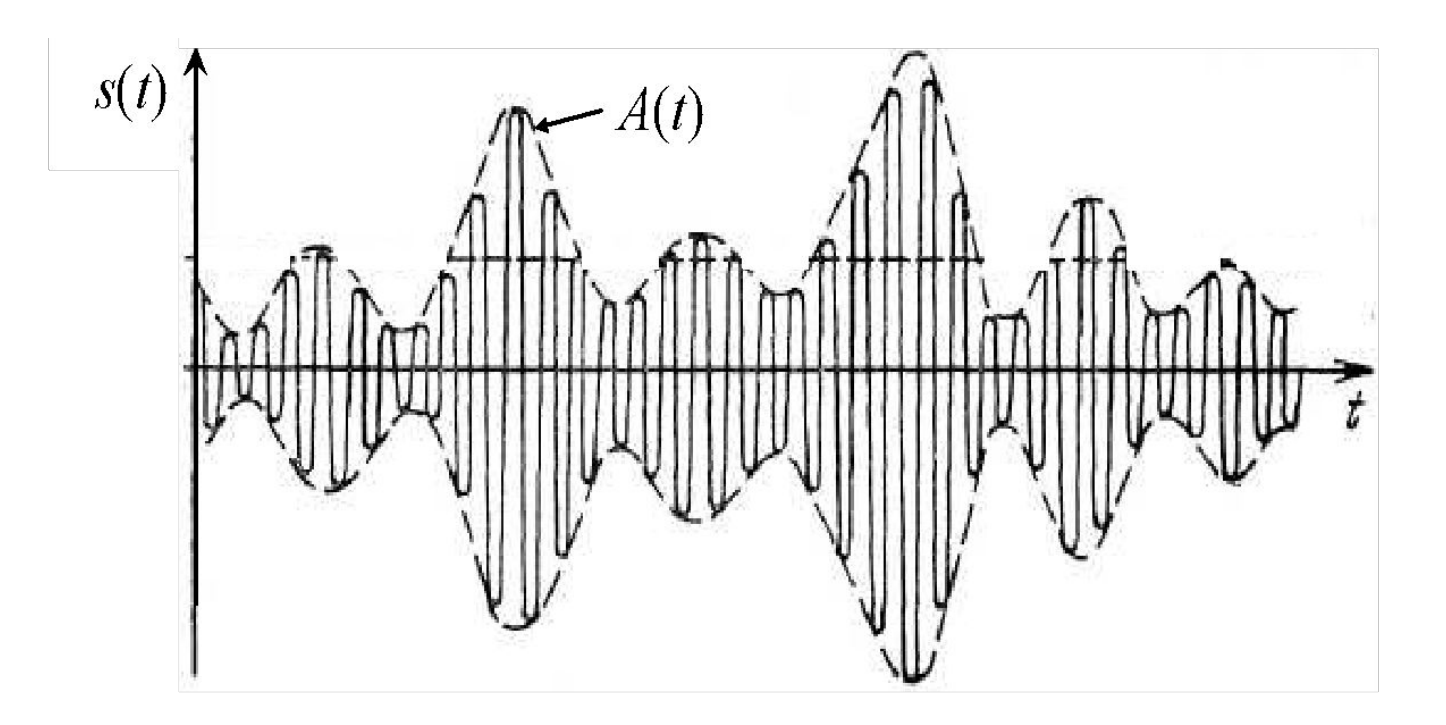
**Видеосигналы** — спектр сосредоточен в области низких частот от 0 до  $F_{_{\rm B}}$ . **Радиосигналы** — спектр сосредоточен вблизи несущей частоты  $f_0 \neq 0$ ,  $\Delta f/f_0 << 1$  — узкополосный сигнал,  $\Delta f$  — ширина спектра сигнала:

$$s(t) = A(t)\cos\psi(t) = A(t)\cos[\omega_0 t + \varphi_0], \tag{1}$$

A(t) и  $\psi$  — огибающая и фаза радиосигнала,  $\phi_0$  — начальная фаза,  $\omega_0$  =  $2\pi f_0$  — несущая частота,

$$A(t) = \sqrt{s^2(t) + \widetilde{s}^2(t)}, \quad \psi(t) = \arctan[\widetilde{s}(t)/s(t)].$$

A(t) — огибающая в виде линии, касательной к точке максимума исходной функции и, в случае гармонического сигнала, соединяющей два соседних максимума кратчайшим путём.



# Характеристики огибающей и начальной фазы узкополосного случайного сигнала

ВЧ сигнал s(t) (1), с учётом  $\cos(\alpha + \beta) = \cos\alpha\cos\beta - \sin\alpha\sin\beta$  при  $\phi_0 = 0$  можно представить в в вид**е**уммы двух квадратурных составляющих:

$$s(t) = A(t)\cos\varphi(t)\cos\omega_0 t - A(t)\sin\varphi(t)\sin\omega_0 t = A_c(t)\cos\omega_0 t - A_s(t)\sin\omega_0 t,$$

$$A_c(t) = A(t)\cos\varphi(t), \quad A_s(t) = A(t)\sin\varphi(t)$$
 — амплитуды соответственно

косинусной и синусной составляющих колебания,

$$A(t) = \sqrt{A_c^2(t) + A_s^2(t)}, \qquad \varphi(t) = -\arctan(A_s/A_c)$$
 (2)

Для отыскания ПВ  $w_A(A)$  и  $w_{\varphi}(\varphi)$  требуется знание соответствующих ПВ  $w(A_c)$  и  $w(A_s)$ , а также  $w(A_c, A_s)$ .

$$w(A_c) = \frac{1}{\sqrt{2\pi\sigma_s}} \exp\left(-\frac{A_c^2}{2\sigma_s^2}\right), \quad w(A_s) = \frac{1}{\sqrt{2\pi\sigma_s}} \exp\left(-\frac{A_s^2}{2\sigma_s^2}\right).$$

Взаимная ФК между СП  $A_c(t)$  и  $A_s(t)$  при  $\tau = 0$   $B_{A_1A_2}(0) = 0$ .

Следовательно,  $A_c(t)$  и  $A_s(t)$  в один и тот же момент времени являются независимыми величинами. Поэтому совместная  $w(A_c, A_s)$  и двумерная ПВ  $w(A, \varphi)$  определяются выражениями:

$$w(A_c, A_s) = w(A_c)w(A_s) = \frac{1}{2\pi\sigma_s^2} \exp\left(\frac{-A_c^2 - A_s^2}{2\sigma_s^2}\right) = \frac{1}{2\pi\sigma_s^2} \exp\left(-\frac{A^2}{2\sigma_s^2}\right);$$

$$w(A, \varphi) = \frac{A}{2\pi\sigma_s^2} \exp\left(-\frac{A^2}{2\sigma_s^2}\right).$$

Плотность вероятности начальной фазы

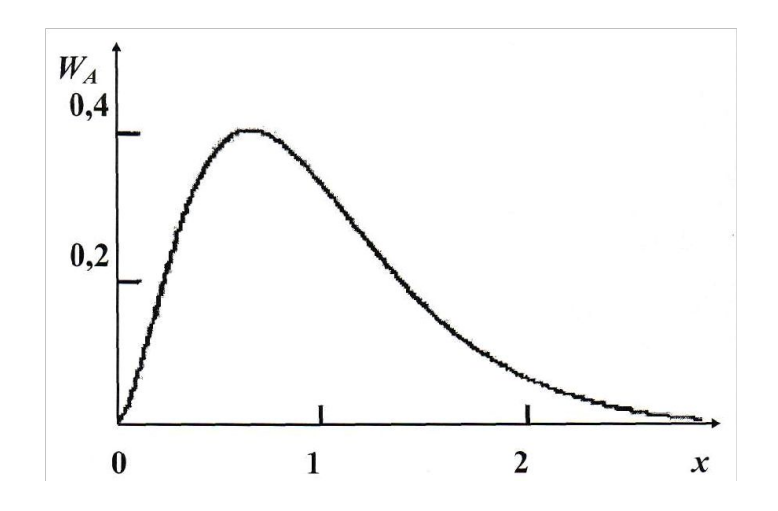
$$w_{\varphi}(\varphi) = \int_{0}^{\infty} w(A, \varphi) dA = \frac{1}{2\pi} \int_{0}^{\infty} \frac{A}{\sigma_{s}^{2}} \exp\left(-\frac{A^{2}}{2\sigma_{s}^{2}}\right) dA = \frac{1}{2\pi} \int_{0}^{\infty} x \exp\left(-\frac{x^{2}}{2}\right) dx = \frac{1}{2\pi$$

Начальная фаза узкополосного СП распределена равномерно на отрезке  $[0,2\pi].$ 

Интегрируя по переменной ф получаем одномерную ПВ:

$$w_A(A) = \int_{-\pi}^{\pi} w(A, \varphi) d\varphi = \frac{A}{\sigma_s^2} \exp\left(-\frac{A^2}{2\sigma_s^2}\right) = x \exp\left(-\frac{x^2}{2}\right), \quad 0 < A < \infty.$$

Распределение огибающей называется распределением Рэлея.



Максимум значения функция  $w_A(A)$  достигает при  $A = \sigma_s$  (x = 1) (наивероятнейшее значение огибающей).

Среднее значение (математическое ожидание) огибающей

$$M[A] = \int_{0}^{\infty} A w_A(A) dA = \frac{1}{\sigma_s^2} \int_{0}^{\infty} A^2 \exp\left(-\frac{A^2}{2\sigma_s^2}\right) dA = \sqrt{\frac{\pi}{2}} \sigma_s.$$

Дисперсия огибающей 
$$M[A^2] = \int_0^\infty A^2 w_A(A) dA = \frac{1}{\sigma_s^2} \int_0^\infty A^2 \exp\left(-\frac{A^2}{2\sigma_s^2}\right) dA = 2\sigma_s^2,$$

т. е. средняя мощность огибающей равна удвоенной дисперсии исходного физического сигнала.

Вероятность того, что огибающая A(t) превысит уровень C

$$P(A > C) = \int_{C}^{\infty} w_A(A) dA = \frac{1}{\sigma_s^2} \int_{C}^{\infty} A \exp\left(-\frac{A^2}{2\sigma_s^2}\right) dA = \exp\left(-\frac{C^2}{2\sigma_s^2}\right).$$

При  $C = \sigma_s^2$  вероятность превышения этого уровня составляет всего лишь примерно 1%. Поэтому можно считать, что ширина дорожки, фактически наблюдаемой на экране осциллографа, не превышает  $(5-6)\sigma_s$ .

Функция корреляции огибающей узкополосного нормального процесса

$$B_A(\tau) \approx \frac{\pi \sigma_s^2}{2} \left[ 1 + \frac{1}{4} R_0^2(\tau) \right]$$

 $R_s( au)=B_s( au)ig/\sigma_s^2=R_0( au)\cos\omega_0 au$ ,  $R_0( au)$ — коэффициент корреляции.

Представим  $w(A, \varphi)$  в виде произведения

$$w(A,\varphi) = \frac{A}{2\pi\sigma_s^2} \exp\left(-\frac{A^2}{2\sigma_s^2}\right) = \left[\frac{A}{\sigma_s^2} \exp\left(-\frac{A^2}{2\sigma_s^2}\right)\right] \left(\frac{1}{2\pi}\right) = w_A(A)w_{\varphi}(\varphi),$$

A(t) и  $\varphi(t)$  независимые CB при их отсчёте в один и тот же момент t.

Вероятность того, что огибающая A(t) превысит C

$$p(A > C) = \int_{C}^{\infty} w_A(A) dA = \frac{1}{\sigma_s^2} \int_{C}^{\infty} A \exp\left(-\frac{A^2}{2\sigma_s^2}\right) dA = \exp\left(-\frac{C^2}{2\sigma_s^2}\right).$$

При  $C = \sigma_s^2$  вероятность  $p(A > C) \approx 1\%$ , поэтому можно считать, что ширина дорожки, фактически наблюдаемой на экране осциллографа, не превышает (5-6)  $\sigma_s$ .

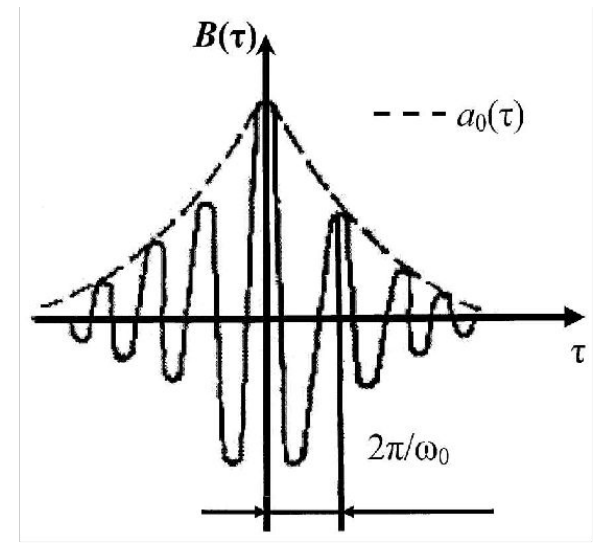
Функция корреляции фазы  $\varphi(t)$ 

$$B_{\varphi}(\tau) = \frac{\pi}{2} R_0(\tau) + \frac{1}{4} R_0^2(\tau) + \frac{\pi}{12} R_0^3(\tau) + \dots$$

При  $\tau = 0$  ряд сходится к  $\pi^3/3$ , т.е. дисперсия фазы  $\sigma_{\phi}^2 = \pi^3/3$ .

Функция корреляции узкополосного СП равна  $B(\tau) = \sigma_x^2 \rho(\tau) \cos \omega_0 \tau$ ,  $\rho(\tau) = a_0(\tau) / \sigma_x^2$  — нормированная огибающая,  $a_0(\tau)$  — огибающая, медленно изменяющаяся по сравнению с  $\cos \omega_0 t$ .

Интервал корреляции узкополосного СП  $\tau_{\text{кор}} = \int_{0}^{\infty} \frac{a_0(\tau)d\tau}{B(0)}$ .



ФК узкополосного СП

Вид ФК свидетельстует о том, что отдельные реализации узкополосного СП представляют собой квазигармонические колебания, у которых огибающая A(t) и фаза  $\varphi(t)$  являются СФ, медленно изменяющимися во времени.

# <u>Пространства сигналов. Геометрическая трактовка</u> <u>процесса передачи сообщений в ТКС</u>

Вся совокупность встречающихся сигналов L разбита на ряд множеств, объединённых каким-либо одним общим и единственным свойством P:  $L_P = \{s; P\}$  — множество всех сигналов s, для которых справедливо свойство P. Определив P, определяем множество сигналов.

Множество гармонических сигналов  $L = \{s; s(t) = A \cdot \cos(\omega t + \varphi), -\infty < t < \infty \}$  содержит гармонические сигналы с произвольными значениями амплитуд A, частот  $\omega$  и фаз  $\varphi$ .

Множества сигналов могут образовываться из других, ранее определённых множеств, логическими операциями объединения (индекс $\cup$ ) и пересечения (индекс $\cap$ ):

$$L = S_1 \cup S_2 = \{s; s \in S_1 \text{ или } s \in S_2\},$$
  $L = S_1 \cap S_2 = \{s; s \in S_1 \text{ ил } s \in S_2\}.$ 

Для сигналов одного и того же множества (элементов) указываются признак или признаки, отличающие их друг от друга. Наиболее подходящим признаком, отличающим два элемента множества x и y, является расстояние d(x,y) между ними в некоторой системе координат.

Множество с определённым расстоянием называется пространством.

Если установлено правило для вычисления d(x, y), то пространство называется *метрическим*, а само правило – *метрикой*.

Расстояние обладает следующими аксиоматическими признаками:

$$d(x, y) \ge 0$$
,  $d(x,y) = 0$  при  $x = y$ ;  $d(x, y) = d(y, x)$ ;

 $d(x,z) \leq d(x,y) + d(y,z) - \text{неравенство треугольника},$  x,y и z — элементы пространства.

Так как сигналы x и y представляют собой функции, то d(x, y) — это функционал.

В метрическом пространстве сигналы можно представит в виде векторов, соединяющих начало координат с элементом (точкой) пространства. Каждо-му элементу  $x, y, z, \ldots$  соответствует набор вещественных или комплексных чисел  $\alpha_1, \alpha_2, \alpha_3, \ldots, \beta_1, \beta_2, \beta_3, \ldots, \lambda_1, \lambda_2, \lambda_3, \ldots$  и т. д., являющихся проекцией

вектора на координатные оси. Различные взаимосвязи между элементами пространства могут быть определены с помощью операций векторной алгебры. Эти операции линейны, следовательно векторное пространство nu метоже ство сигналов L образует nu мей nu метоже ство сигналов, если для него справедливы следующие аксиомы:

- 1) существует нулевой элемент  $\emptyset$ , что для всех  $x(t) \in L$  выполняется равенство  $x(t) + \emptyset = x(t)$ ;
  - 2) для  $x(t) \in L$  и  $y(t) \in L$  существует s(t) = x(t) + y(t),  $s(t) \in L$ . При этом операция суммирования должна быть:
    - коммутативна: x(t) + y(t) = y(t) + x(t);
    - ассоциативна: x(t) + [y(t) + z(t)] = [x(t) + y(t)] + z(t);
    - однородна:  $x(t) + [-x(t)] = \emptyset$ .

- 3) существует множество скалярных элементов a, для которых  $y(t) = \alpha x(t)$  новый сигнал,  $x(t) \in L$ ,  $y(t) \in L$ . Операция умножения должна быть:
  - ассоциативна:  $\alpha[\beta \cdot x(t)] = \alpha \beta \cdot x(t)$ ;
  - дистрибутивна:  $\alpha[(x(t) + y(t))] = \alpha x(t) + \alpha y(t)$ ,
  - пропорциональна:  $1 x(t) = \alpha x(t) + \beta x(t) = \alpha x(t)$ ;
- $\alpha$ . В зависимости от значений скаляров  $\alpha$ ,  $\beta$ ,  $\lambda$ , линейные пространства могут быть вещественными или комплексными.

В векторном пространстве длина вектора называется его *нормой* ||x||, а само пространство – *нормированным*. *Свойства нормы*:

$$||x|| \ge 0; ||x|| = 0$$
 только при  $x(t) = 0;$   
 $||kx|| = |k| \cdot ||x||$ , где  $k$  любое число;  
 $||x + y|| \le ||x|| + ||y||$  при  $x(t) \in L$  и  $y(t) \in L$ .

Квадрат нормы носит название энергии сигнала:  $E_s = \|s\|^2 = \int_{-\infty}^{\infty} s^2(t) dt$ .  $d(x,y) = \|x-y\|$ .

Степень связи (сходства) по форме и положению сигналов x(t) и y(t) в пространстве сигналов отражается их скалярным произведением:

$$(x, y) = \sum_{n=0}^{N-1} x_n y_n = ||x|| \cdot ||y|| \cdot \cos \varphi,$$
 (3)

ф – угол между двумя векторами.

$$\cos \varphi = \frac{(x, y)}{(\|x\| \cdot \|y\|)}.$$

При  $\varphi = 0$  (cos  $\varphi = 1$ ) сигналы совпадают по направлению и расстояние между ними минимальное. При  $\varphi = \pi/2$  (cos  $\pi/2 = 0$ ) сигналы перпендикулярны друг другу, т. е. ортогональны, и проекции сигналов друг на друга равны нулю. При  $\varphi = \pi$  (cos  $\pi = -1$ ) сигналы противоположны по направлению и расстояние между ними максимально.

Фактор расстояния между сигналами играет существенную роль при их различении в демодуляторах и селекции в многоканальных системах.

Линейное пространство дискретных и цифровых сигналов со скалярным произведением (3) называется евклидовым пространством. Совокупность n линейно независимых векторов образует n-мерное евклидово пространство  $R_n$ . Любой вектор x, относящийся к x, определяется совокупностью его координат x =  $(x_0, x_1, ..., x_{n-1})$ . Пространство x можно определить как множество точек, представленных концами векторов, норма которых равна

$$\|x\| = \sqrt{\sum_{i=0}^{n-1} x_i^2}.$$

Расстояние между двумя векторами как норма разности векторов

$$d(x,y) = \|x - y\| = \sqrt{\sum_{i=0}^{n-1} (x_i - y_i)^2}.$$

При  $n \to \infty$  пространство  $R_n$  переходит в бесконечномерное *пространство Гильберта*  $L_2$ , в частности, пространство всех непрерывных комплексных функций аргумента t, заданных на интервале $\left(-T/2;T/2\right)$ , в котором скалярное произведение и квадрат нормы определяются выражениями:

$$(x,y) = \int_{-\frac{T}{2}}^{\frac{1}{2}} \mathbf{x}(t) y^{*}(t) dt, \qquad ||x||^{2} = \int_{-\frac{T}{2}}^{\frac{T}{2}} \mathbf{x}(t) x^{*}(t) dt = \int_{-\frac{T}{2}}^{\frac{T}{2}} |x(t)|^{2} dt.$$

Если элементы этого пространства  $L_2(T)$  – вещественные сигналы s(t), определённые на интервале  $\left(-T/2;T/2\right)$ , то выполняется условие

$$E_{s} = \|S\|^{2} = \int_{-\frac{T}{2}}^{\frac{T}{2}} s^{2}(t)dt \le \infty.$$

При  $T \to \infty$  получаем пространство  $L_2(\infty)$ . Если для сигналов этого пространства последнее условие не выполняется, но выполняется условие

$$P_{s} = \lim_{T \to \infty} \frac{1}{T} \int_{-\frac{T}{2}}^{\frac{1}{2}} s^{2}(t)dt < \infty,$$

то вводится скалярное произведение с размерностью мощности

$$(u,i)_{P} = \frac{1}{T} \int_{-\frac{T}{2}}^{\frac{T}{2}} u(t) i^{*}(t) dt \qquad \qquad \|S\|_{P}^{2} = \int_{-\frac{T}{2}}^{\frac{T}{2}} |S(t)|^{2} dt.$$

Квадрат расстояния между двумя векторами в вещественном пространстве  $L_2(T)$  определяется соотношениями:

$$d^{2}(x,y) = \|x - y\|^{2} = \int_{-\frac{T}{2}}^{\frac{T}{2}} [x(t) - y(t)]^{2} dt.$$

Пространство  $L_2$  представляет собой естественное обобщение пространства  $R_n$ , получаемое путём перехода от дискретизированной функции к функции непрерывного аргумента.

Пространство  $L_2$  имеет особое значение, т. к. оно позволяет применить общие геометрические представления к сообщениям, сигналам и помехам, определённым как функции непрерывного аргумента.

**Пространство Хэмминга**. Функция x(t), принимающая на каждом интервале  $i\Delta t$  одно из m возможных значений  $x_i^{(k)}(k=\overline{0,m-1})$  на отрезке длительностью T полностью определена  $n=T/\Delta t$  значениями или совокуп-ностью коэффициентов  $x_i^{(k)}(k)=\overline{0,m-1}$  называемый  $x_i^{(k)}(k)=\overline{0,m-1}$  принимают принимают значения 0 или 1, n-набор представляет собой просто кодовую комбинацию двоичного кода, отображающую символ передаваемого сообщения. Двоичные *п*-наборы отображаются векторами (точками) в *простран*-

стве Хэмминга 2,

Скалярное произведение в этом пространстве задаётся функцией:

$$(x, y) = \left[\sum_{k=0}^{n-1} x_k y_k\right]^2.$$

Норма двоичного вектора (*вес кодовой комбинации w*) определяется количеством содержащихся в нём единиц

$$\|x\| = \sum_{k=0}^{n-1} x_k^2 = \sum_{k=0}^{n-1} x_k.$$

Расстояние в пространстве Хэмминга между двоичными векторами определяется по числу позиций в кодовой комбинации, в которых векторы имеют различные символы

$$d(x, y) = ||x - y|| = \sum_{k=0}^{n-1} |x_k - y_k| = \sum_{k=0}^{n-1} |x_k \oplus y_k|.$$